

## Fotojonizovani gasni oblaci (Emisione gasne magline i AGN-ovi)

### 1. Podela i karakteristike

Emisione gasne magline i aktivna galaktička jezgra (AGN) imaju veoma slične **emisione spektre**. Emisione gasne magline se mogu podeliti u dva osnovna tipa: (1) **fotojonizovane magline** (HII regioni i planetarne magline) i (2) **sudarno jonizovane magline** (ostaci supernovih - SNR; jonizovane u interakciji udarnog talasa i medjuvezdane sredine). Iako se HII regioni i planetarne magline medjusobno razlikuju po poreklu, masi, evoluciji i starosti, fizički procesi koji leže u osnovi formiranja spektra su slični. U oba slučaja maglina je jonizovana fotonima centralne vrele zvezde. AGN-ovi imaju slične spektre, razlike se javljaju zbog znatno većih energija fotona centralnog izvora. Najveće razlike se javljaju kod ostataka supernovih, kod kojih je gas prvenstveno jonizovan i ekscitovan sudarima. Takva maglina daje spektar koji je vrlo sličan spektru magline jonizovane fotonima. Pošto medju samim SNR-ovima postoje značajne razlike, vezane pre svega za njihovo poreklo i evoluciju, ostatke supernovih i njihove spektre ćemo razmatrati posebno.

U fotojonizovanim gasnim oblacima centralni izvor zračenja emituje UV fotone koji imaju dovoljnu energiju da ionizuju vodonik ( $\lambda < 91.2\text{nm}$ ;  $E_{\text{ion}}(\text{H}) = 13.598\text{eV}$ ), a ponekad i helijum ( $\lambda < 50.4\text{nm}$ ;  $E_{\text{ion}}(\text{He}) = 24.587\text{eV}$ ). Centralni izvor zračenja su:

- (a) O ili B zvezde (u HII regionima)
- (b) vreli beli patuljci (u planetarnim maglinama)
- (c) AGN-ovi (kod kvasara, Sajfertovih i radio galaksija).

Najznačajnije razlike izmedju (a), (b) i (c) su u temperaturi centralnog izvora i njegovojoj spektralnoj raspodeli, a time i u stanjima jonizacije raznih težih elemenata. Vrele zvezde, kao centralni izvori, imaju Plankovu raspodelu zračenja, sa fluksom koji na strani kraćih talasnih dužina od maksimuma naglo opada (Wien-ova oblast), pa je fotojonizujućih fotona tu srazmerno malo. Tako će, napr., B zvezde ( $T \approx 30000\text{ K}$ ) od gasa koji ih okružuje stvarati HII regione, O-zvezde ( $T \approx 40000\text{ K}$ ) će stvarati i HeII regione za čiju su jonizaciju potrebni fotoni  $\lambda < 50.4\text{nm}$ , a samo će se u planetarnim maglinama (centralna zvezda je beli patuljak  $T \approx 100000\text{ K}$ ) formirati i HeIII regioni za čiju su jonizaciju potrebni fotoni  $\lambda < 22.8\text{nm}$  ( $E_{\text{ion}}(\text{HeII}) = 54.418\text{eV}$ ). AGN-ovi imaju ravan kontinuum ( $I_\nu \propto 1/\nu$  ili  $I_\nu \approx \text{const}$ ) i proizvode intenzivno zračenje na svim talasnim dužinama, tj. u okolnom gasu se javlja širok dijapazon jonizacija.

## Strömgren-ova sfera

Danski astronom Bengt Strömgren<sup>1)</sup> je 1939. godine zaključio da su difuzni medjuvezdani gasni oblaci ili uglavnom neutralni sa skoro svim atomima vodonika u osnovnom stanju ili skoro potpuno ionizovani sa vrlo tankom granicom koja razdvaja HI i HII regione. Ponekad se HII regioni koji okružuju vrele zvezde nazivaju Strömgrenovim sferama.

Prepostavimo da imamo neku zapremenu gasa koja sadrži HI atome sa koncentracijom  $n_0$ . Neka je u taj gas uronjena zvezda površinske temperature  $T > 30000\text{K}$ , koja emitiše  $N_u$  fotona u sekundi čije su energije ( $E > 13.6\text{eV}$ ) dovoljne da ionizuju vodonik iz osnovnog stanja. Ovi fotoni će ionizovati vodonik unutar neke zapremine  $V$  oko zvezde. Poprečni presek za ionizaciju vodonika UV fotonima je veliki:  $\sigma \approx 10^{-17} \text{ cm}^2$ , tako da je svaki ionizujući foton vrlo brzo apsorbovan pri prelasku iz HII u HI region. Tipičan ionizujući UV foton prelazi rastojanje  $\Delta R_S = (n_0\sigma)^{-1} \approx 10^{14}\text{cm}$  kroz HI oblak koncentracije  $n_0 = 10^3\text{cm}^{-3}$ . Imajući u vidu da se fotoni kreću brzinom od oko  $3 \cdot 10^{10}\text{cm/s}$ , ovi fotoni će posle sat vremena biti apsorbovani. Nепрозрачност HII regiona na ionizujuće fotone mnogo je manja. Tako će zvezda u HI regionu konstantne gustine potpuno ionizovati gas unutar sfere čiji (Strömgrenov) radijus u toku vremena raste dok se ne uspostavi ravnoteža između ionizacija i rekombinacija, a delimično ionizovana granica ove sfere biće izuzetno tanka ( $10^{14}\text{cm}$ ). Ovakav HII region se naziva ionizaciono ograničen (ionization bounded) HII region, za razliku od gustinom ograničenog (density bounded) HII regiona, čiji je oblak HI toliko mali da ga zvezda može potpuno ionizovati.

Unutar HII regiona elektroni i protoni se povremeno sudaraju i rekombinuju, tako da je broj rekombinacija u jedinici vremena i u jedinici zapremine  $\alpha_{rec} n_e n_p$  (reda  $3 \cdot 10^{-13} \text{cm}^3 \text{s}^{-1} \cdot 10^3 \text{cm}^{-3} \cdot 10^3 \text{cm}^{-3} \approx 3 \cdot 10^{-7} \text{cm}^{-3} \text{s}^{-1}$ ). U Strömgren-ovoj sferi, u stacionarnom stanju, broj ionizacija i rekombinacija će se izjednačiti. Ako je  $N(\text{Lyman } c)$  - broj fotona koje emitiše zvezda koji u sekundi ionizuju vodonik iz osnovnog stanja, iz ravnoteže broja ionizacija i broja rekombinacija:

$$N(\text{Lyman } c) = \alpha_{rec} n_e n_p \frac{4}{3} \pi R_S^3$$

sledi da je Strömgren-ov radijus:

$$R_S \approx \left( \frac{3N(\text{Lyman } c)}{4\pi\alpha_{rec} n_e^2} \right)^{1/3}$$

Primer: jedna O zvezda emitiše oko  $6 \cdot 10^{49}$  ionizujućih fotona svake sekunde. Ako je  $n_e \approx 10^3 \text{cm}^{-3}$ , onda je  $R_S \approx 3.6 \cdot 10^{18} \text{cm} \approx 1.2 \text{pc}$ . Vidimo da je radijus potpuno ionizovane Strömgren-ove sfere mnogo veći od debljine graničnog sloja  $\Delta R_S$  između HII i HI regiona, koji je reda  $10^{14} \text{cm}$ .

---

<sup>1)</sup> Strömgren je poznat i po svom *uvby* fotometrijskom sistemu za zvezdanu klasifikaciju. Talasne dužine (i polu-širine) filtera u nm su: u350(30), v411(19), b467(18), y547(23). *y* magnituda odgovara V magnitudi Johnson-Morgan-ovog UBV sistema, a indeksi  $b - y$ ,  $c1 = (u - v) - (v - b)$  i  $m1 = (v - b) - (b - y)$  su, respektivno, osetljivi na temperaturu zvezde (mera Pašenovog kontinuma), na površinsku gravitaciju (mera jačine Balmerovog skoka) i metaličnost (mera 'line blanketing'-a).

## 2. Fizički procesi

UV fotoni centralnog izvora ne samo da ionizuju gas, veća ga i zagrevaju predajući mu energiju u vidu kinetičke energije oslobođenih elektrona:

$$h\nu = E_{ion} + \frac{1}{2}mv^2 .$$

To doprinosi povećanju termalne energije magline. S druge strane, maglina se raznim radijativnim procesima (rekombinacije, f-f prelazi, emisija u linijama koje su sudarno eksitovane) hlađi. U maglini se ovim procesima uspostavlja termalna ravnoteža u relativno malom temperaturskom opsegu, od 5000K do 25000K. Sudarima između elektrona i elektrona i jona uspostavlja se Maxwell-ova raspodela čestica po brzinama.

Zahvatima elektrona dolazi do rekombinacije jona. U svakoj tački magline stepen jonizacije određen je ravnotežom između broja fotojonizacija i rekombinacija<sup>1)</sup>. U maglinama u kojima centralna zvezda ima izuzetno visoku temperaturu, ima puno visoko-energetskih fotona, jonizacija je visoka, pa se posmatraju linije višestruko jonizovanih elemenata, kao napr. [NeV] ili [FeVII]. Visoki stepen jonizacije rezultat je visoke temperature centralne zvezde i energije fotona koje ona emituje, a ne temperature magline definisane kinetičkom energijom slobodnih elektrona. Fotoni koje emituju zvezde ionizuju gas, a termalni elektroni ga sudarno eksituju.

Sudarima elektrona i jona eksituju se niži (nekoliko eV) energetski nivoi jona. Radijativne deekscitacije sa tih nivoa imaju malu verovatnoću (zabranjeni prelazi), ali na niskim gustinama u maglini ( $< 10^4 \text{ cm}^{-3}$ ) sudarna deekscitacija je još manje verovatna. Tako, **skoro svaka eksitacija dovodi do emisije fotona** i maglina emituje spektar zabranjenih linija jona raznih elemenata.

Osim ovih sudarno eksitovanih zabranjenih linija raznih jona, spektrom dominiraju i rekombinacione linije najzastupljenijih elemenata (H i He). U procesu rekombinacije, elektroni su zahvaćeni na više eksitovane nivoe, sa kojih se radijativna deekscitacija vrši

---

<sup>1)</sup> Za dva susedna stanja jonizacije  $j$  i  $j+1$  imamo:

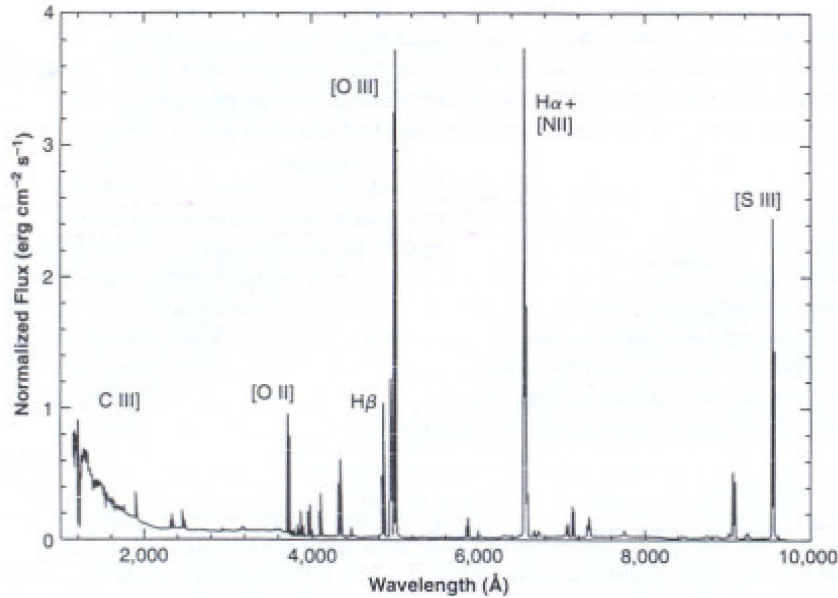
$$n_j \int_{\nu_0}^{\infty} \frac{4\pi J_{\nu}}{h\nu} a_{\nu} d\nu = \alpha_{rec} n_{j+1} n_e$$

gde je  $a_{\nu}$  - presek za fotojonizaciju,  $\alpha_{rec}$  - koeficijent rekombinacije (na sve nivoe),  $\nu_0$  - najmanja frekvencija za jonizaciju ( $= I/h$ ). Ovde se prepostavlja da postoji fotojonizacija samo iz osnovnog stanja, jer je naseljenost eksitovanih nivoa toliko mala da se fotojonizacije sa tih nivoa mogu zanemariti. Obično su samo dva stanja jonizacije nekog elementa prisutna u maglini, tako da je  $n_j + n_{j+1} = n_{uk}$  - ukupna koncentracija čestica razmatranog elementa. Stepen jonizacije je dat sa:

$$z_j = \frac{n_{j+1}}{n_{uk}} = \frac{n_{j+1}/n_j}{1 + n_{j+1}/n_j}$$

kaskadno do osnovnog nivoa. Tako se emituju fotoni u Balmerovim i Pašenovim linijama, koje se posmatraju u svim gasnim maglinama. Dakle, rekombinacijom HII nastaju ekscitovani atomi vodonika i emisija HI spektra. Slično, HeII rekombinuje i emituje se spektar HeI, a u najviše jonizovanim oblastima, HeIII se rekombinuje i emituje se spektar HeII, čija je najjača linija u vidljivom delu spektra na  $\lambda 468.6\text{nm}$ .

### 3. Izgled spektra



**Slika 1.** UV, optički i bliski IC deo spektra Orionove magline.  
Fluks u  $\text{H}\beta$  liniji je uzet za jedinicu.

#### 3.1. Linije

U UV delu spektra gasnih oblaka dominiraju: zabranjene linije [OII]  $\lambda\lambda 372.6, 372.9$  (UV dublet koji izgleda kao blendirana  $\lambda 372.7$  linija na spektrogramima niske rezolucije), linije MgII  $\lambda\lambda 279.6, 280.3$ , CIII]  $\lambda\lambda 190.7, 190.9$ , CIV  $\lambda\lambda 154.8, 155.1$  i Lyman  $\alpha$  na  $121.6\text{nm}$ .

Karakteristične za spektre svih maglina, u vidljivom delu javljaju se Balmerove linije vodonika:  $\text{H}\alpha \lambda 656.3$  u crvenom,  $\text{H}\beta \lambda 486.1$  u plavom,  $\text{H}\gamma \lambda 434.0$  u ljubičastom itd., kao i  $\text{HeI} \lambda 587.6$  linija koja je znatno slabija, dok se  $\text{HeII} \lambda 468.6\text{nm}$  linija javlja samo u maglinama visoke ionizacije. Vidljivim delom spektra dominiraju zabranjene linije jona [OIII]  $\lambda\lambda 495.9, 500.7$ , zelene linije za koje se do 1927. godine mislilo da potiču od hipotetičkog elementa - nebulijuma i crvene linije [NII]  $\lambda\lambda 654.8, 658.3\text{nm}$ .

Medju najjače linije IC dela spektra spadaju linije [SIII]  $\lambda\lambda 906.9, 952.3\text{nm}$ , [NeII]  $12.8\mu\text{m}$  i [OIII]  $88.4\mu\text{m}$ .

U radio području karakteristične su slabe, tzv. radio-rekombinacione linije vodonika (napr.  $\text{H}109\alpha$  na  $\lambda = 6\text{ cm}$ ), helijuma i ugljenika.

### 3.2. Kontinuum

Gasne magline imaju slabi kontinualni spektar. Kontinuum potiče uglavnom od slobodno-vezanih (f-b) i slobodno-slobodnih (f-f) prelaza i procesa emisije 2 fotona. Osim na vrlo dugim i na vrlo kratkim talasnim dužinama ne dostiže se nivo zračenja crnog tela koje odgovara lokalnoj temperaturi, pa se linije javljaju u emisiji.

Pašenov kontinuum na  $\lambda > 364.6$  i Balmerov kontinuum na  $91.2 < \lambda < 364.6$  potiče uglavnom od f-b prelaza. Na  $\lambda < 91.2$  nm dominira Lyman kontinuum koji nastaje rekombinacijama u osnovno stanje ( $n = 1$ ) i koji može biti optički neprozračan. Slobodno-slobodna emisija raste sa talasnom dužinom kao  $\lambda^3$  i dominira u IC i radio oblasti. Proces 2 fotona predstavlja prelaz  $2^2S \rightarrow 1^2S$  iz  $n = 2, l = 0$  nivoa vodonika na  $n = 1, l = 0$  osnovno stanje. Ovaj prelaz je zabranjen za jedan foton jer se narušava uslov održanja ugaonog momenta, ali se javlja kroz emisiju dva fotona sa verovatnoćom  $A(2^2S, 1^2S) = 8.23\text{s}^{-1}$ . Kako energija tog prelaza može biti podeljena na bilo koji način izmedju dva fotona, spektar je kontinualan na svim  $\lambda$  većim od talasne dužine Lyman  $\alpha$  linije (121.6 nm, prelaz  $2^2P \rightarrow 1^2S$ ).

Mnoge magline imaju refleksioni kontinuum koji čini zvezdana svetlost rasejana na česticama prašine.

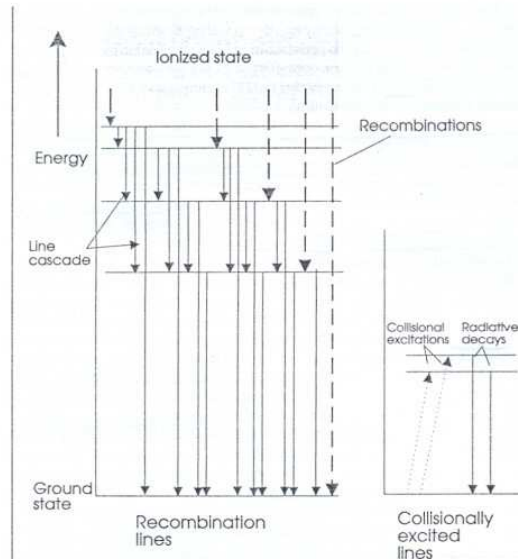
U radio području, emisione magline imaju jak kontinualni spektar, koji potiče uglavnom od f-f emisije termalnih elektrona ubrzanih sudarima sa protonima. U IC većina maglina ima jak kontinualni spektar koji emituje prašina zagrejana do  $T \approx 100\text{K}$  zračenjem centralne zvezde.

#### 4. Formiranje emisionih linija u maglinama

Atomi i joni najveći deo vremena provode u osnovnom stanju i moraju nekim procesom biti eksitovani da bi proizveli emisionu liniju. Prema načinu eksitacije, emisione linije se dele u dve osnovne kategorije: 1) rekombinacione linije i 2) sudarno eksitovane linije. Postoji i treći način - rezonantna fluorescencija.

(1) **Rekombinacione linije** nastaju kada se zahvatom elektrona ion rekombinuje na neki od viših eksitovanih nivoa nižeg stanja ionizacije (rekombinacija na osnovni nivo daje foton koji odmah ponovo biva utrošen na ionizaciju). Deeksitacija do osnovnog nivoa se često vrši preko nižih eksitovanih stanja. Pri kaskadnim prelazima u niža stanja nastaju razne dozvoljene emisione linije posmatranog atoma/jona. Rekombinacije su malobrojne zbog male gustine magline, pa su rekombinacione linije detektovane samo kod najzastupljenijih elemenata (vodonika, helijuma, ugljenika, azota, kiseonika,...)).

(2) **Linije nastale sudarnom eksitacijom** elektrona iz osnovnog stanja. Srednja kinetička energija elektrona u gasu temperature  $T$  je  $\approx kT$ . Verovatnoća za sudarnu eksitaciju pri elektronskoj koncentraciji  $n_e$  je  $n_e/\sqrt{T} \exp(-E_{ij}/kT)$  gde je  $E_{ij}$  - energija eksitacije u odnosu na osnovno stanje. Da bi došlo do značajne eksitacije,  $kT$  treba da bude reda  $E_{ij}$ . Na  $T \approx 10^4\text{K}$ , koja je tipična za magline, dolazi do eksitacija na prvo eksitovano stanje. Emisione linije koje nastaju pri prelazu u osnovno stanje zovu se rezonantne linije i obično leže u UV oblasti (CIV  $\lambda\lambda 154.8\text{nm}, 155.0\text{nm}$ ; MgII  $\lambda\lambda 279.8\text{nm}, 280.2\text{nm}$ ; SiIV  $\lambda\lambda 139.4\text{nm}, 140.3\text{nm}$  i Ly $\alpha$  na  $121.6\text{nm}$ , koja je i sudarno eksitovana i rekombinaciona linija).



**Slika 2.** Rekombinacione (levo) i sudarno eksitovane linije (desno).

Osim ovih dozvoljenih rezonantnih linija u UV, u optičkom delu spektra sve sudarno eksitovane linije su zabranjene. One nastaju prelazima sa nivoa koji su svega nekoliko

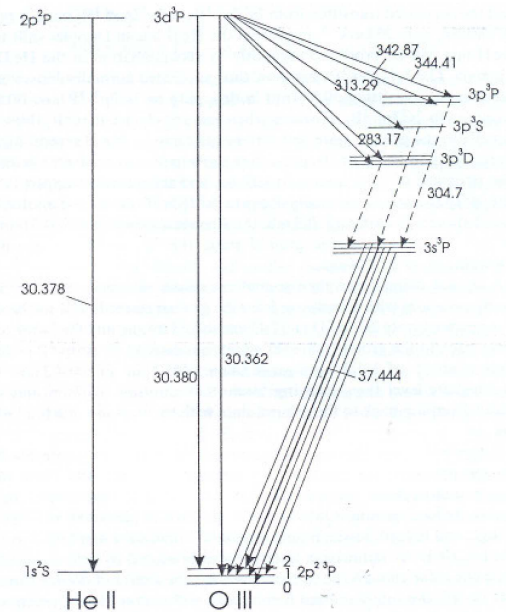
eV iznad osnovnog, a koji se mogu ekscitovati sudarima sa termalnim elektronima. Kod najzastupljenijih jona (O,N,C,S, Si) ti eksitovani nivoi potiču od iste elektronske konfiguracije kao i osnovno stanje, pa su radijativni prelazi zabranjeni (primeri: zabranjene linije [OII], [OIII], [NII],...videti Dodatak na kraju poglavlja).

Zabranjene linije nisu nikad dovoljno jake da bi efekti RT bili značajni - u tim linijama ima emisije, ali ne i značajne apsorpcije. Takve linije su sjajne zbog velikih emitujućih oblasti. Rekombinacione linije mogu biti dovoljno jake da apsorpcija bude značajna pa je tada potrebno rešavati problem prenosa zračenja.

(3) **Rezonantna fluorescencija** je treći način nastanka emisionih linija. Ako se neka od jakih emisionih linija (napr. HeII na 30.378nm) poklapa sa nekim prelazom nekog drugog atoma (napr. OIII na 30.380nm, vidi sl. 3), doći će do apsorpcije fotona te jake linije drugim atomom i do njegove eksitacije. Atom se potom radijativno vraća u osnovno stanje i ako pri tom povratku prolazi kroz medju-stanja (nivoe), onda će se proizvesti niz linija na većim talasnim dužinama. Te linije se nazivaju **rezonantno fluorescentne linije**. Neočekivano su jake, jer su, sa jedne strane, eksitovani nivoi takvih prelaza obično sviše visoko da bili eksitovani sudarima, a sa druge strane, jačina linija je mnogo veća od one koju predviđa teorija rekombinacije.

Klasičan primer rezonantne fluorescencije je grupa OIII dozvoljenih linija između  $280\mu\text{m}$  i  $380\text{nm}$  čiju je pojavu i jačinu objasnio Bowen. Fotoni Lyman  $\alpha$  linije HeII, nastali rekombinacijom u HeIII regionu (u planetarnim maglinama), eksituju OIII, koji se u 2% slučajeva ne deeksituje direktno u osnovno stanje, već ide preko medju-nivoa (slika 3).

Drugi primer rezonantne fluorescencije je Lyman  $\beta$  foton ( $\lambda = 102.577\text{nm}$ ) koji eksituje OI, koji se zatim deeksituje kroz niz medju stanja.



Slika 3. Rezonantna fluorescencija između HeII i OIII.

## 4.1. Rekombinacione linije

Izvedimo izraz za intenzitet rekombinacione linije koja nastaje pri prelazu sa  $j$ -tog na  $i$ -ti nivo:

$$I_\nu(ji) = \int j_\nu(ji) \rho dz = \int A_{ji} n_j \frac{h\nu}{4\pi} dz . \quad (1)$$

Ovde je  $j_\nu$  maseni koeficijent emisije. Potražimo naseljenost  $n_j$  gornjeg nivoa. Broj rekombinacija na  $j$ -ti nivo u jedinici zapremine i jedinici vremena je  $\alpha_{rec}(j)n_e n_{jon}$ . Rekombinacija je sudarni proces ( $\alpha_{rec} \propto 1/\sqrt{T}$ ). Pretpostavimo da dolazi do fotoionizacija samo sa osnovnog nivoa i da nema apsorpcija u linijama. Naseljenosti  $n_j$  se dobijaju rešavanjem jednačine statističke ravnoteže (na levoj strani jednačine su procesi koji naseljavaju, a na desnoj koji raseljavaju  $j$ -ti nivo):

$$\alpha_{rec}(j)n_e n_{jon} + \sum_{k>j} n_k A_{kj} = n_j \sum_{i < j} A_{ji} \quad (j > i) . \quad (2)$$

Preispitajmo tvrdnju da su rekombinacione linije optički tanke pa da se apsorpcija u njima može zanemariti.

Pri rekombinaciji u osnovno stanje emituje se  $\text{Ly}_c$  foton. Umesto direktnе rekombinacije na osnovni nivo, može doći do rekombinacija na drugi nivo pa se mogu emitovati  $\text{Ba}_c$  i  $\text{Ly}\alpha$  fotoni (Lyman  $\alpha$  foton se rasejava više puta). Moguća je, jasno, i rekombinacija na treći nivo, pri čemu se mogu emitovati  $\text{Pa}_c$ ,  $\text{H}\alpha$  i  $\text{Ly}\alpha$ , ili  $\text{Pa}_c$  i  $\text{Ly}\beta$  fotoni.  $\text{Ly}\beta$  foton se rasejava i pri svakom rasejanju su velike šanse da se 'udrobi' u  $\text{H}\alpha$  i  $\text{Ly}\alpha$  fotone. Možemo da zaključimo da svaki  $\text{Ly}_c$  foton konačno dovodi do  $\text{Ly}\alpha$  fotona i fotona u linijama Balmerove serije. Kaskada se završava na  $n = 2$  jer je emisija  $n = 2 \rightarrow n = 1$  uvek praćena apsorpcijom  $n = 1 \rightarrow n = 2$ . Zato u (2) sumiranje treba da počne od  $i = 2$ , a ne od  $i = 1$ .

Na temperaturi magline ( $T = 10^4 \text{K}$ ), odnosi emisionih koeficijenata za rekombinacione linije vodonika su sledeći:

$$\frac{j(\text{H}\alpha)}{j(\text{H}\beta)} = 2.87, \quad \frac{j(\text{H}\gamma)}{j(\text{H}\beta)} = 0.466, \quad \frac{j(\text{Ly}\alpha)}{j(\text{H}\beta)} = 34 .$$

Na dva puta većoj temperaturi ( $T = 20000 \text{K}$ ), samo se odnos  $j(\text{H}\alpha)/j(\text{H}\beta)$  malo promeni (=2.69). Uticaj promene elektronske koncentracije  $n_e$  je još manji. Tako je odnos intenziteta linija u rekombinacionoj kaskadi fiksni. Odnos intenziteta Balmerovih linija:

$$I(\text{H}\alpha) : I(\text{H}\beta) : I(\text{H}\gamma)$$

naziva se Balmerov dekrement.

### 4.1.1. Uticaj prašine

Posmatrani Balmerov dekrement se može razlikovati od teorijskog zbog prisustva prašine koja rasejava više plavu svetlost od crvene, pa je odnos  $I(\text{H}\alpha) : I(\text{H}\beta)$  uvećan prašinom.

Neka je  $\tau_D(H\beta)$  - optička debljina prašine na talasnoj dužini  $H\beta$  linije (486.1nm). Koeficijent apsorpcije prašinom je  $\propto 1/\lambda$ . Ako se koristi posmatrano pocrvenjenje, dobija se da je:

$$\tau_D(H\alpha) = 0.65\tau_D(H\beta)$$

Ako oblak prašine leži izmedju nas i gasne magline:

$$\begin{aligned} \frac{I(H\alpha)}{I(H\beta)} &= [\frac{I(H\alpha)}{I(H\beta)}]_0 \frac{e^{-\tau_D(H\alpha)}}{e^{-\tau_D(H\beta)}} \\ \frac{I(H\alpha)}{I(H\beta)} &= [\frac{I(H\alpha)}{I(H\beta)}]_0 e^{0.35\tau_D(H\beta)} . \end{aligned} \quad (3)$$

Medjutim, prašina pomešana sa gasom može uticati na proces formiranja linija. Neka je linija optički tanka, sa homogenim zapreminskim koeficijentom emisije  $j_\nu\rho$ . Neka je  $\kappa_D\rho$  koeficijent apsorpcije prašine, a debljina oblaka  $R$ . Pošto je intenzitet u Balmerovoj liniji onda dat sa:

$$I(\text{Balmer}) = \int_0^R j_\nu \rho e^{-t_D} dx = \frac{j\rho R}{\kappa_D \rho R} \int_0^{\tau_D} e^{-t_D} dt_D = \frac{j\rho R}{\tau_D} (1 - e^{-\tau_D}) ,$$

odnos intenziteta  $H\alpha$  i  $H\beta$  linije je:

$$\begin{aligned} \frac{I(H\alpha)}{I(H\beta)} &= \frac{j(H\alpha)}{j(H\beta)} \frac{\tau_D(H\beta)}{\tau_D(H\alpha)} \frac{1 - e^{-\tau_D(H\alpha)}}{1 - e^{-\tau_D(H\beta)}} \\ \frac{I(H\alpha)}{I(H\beta)} &= [\frac{I(H\alpha)}{I(H\beta)}]_0 \frac{1}{0.65} \frac{1 - e^{-0.65\tau_D(H\beta)}}{1 - e^{-\tau_D(H\beta)}} . \end{aligned} \quad (4)$$

Ova jednačina daje drugačiji Balmerov dekrement od (3) za dato  $\tau_D$ .

Korišćenjem dva odnosa intenziteta Balmerovih linija,  $H\alpha/H\beta$  i  $H\beta/H\gamma$ , moguće je razlikovati prašinu pomešanu sa gasom unutar oblaka od one van njega.

#### 4.1.2. Odredjivanje zapremine fotojonizovane oblasti

Zapreminu jonizovane oblasti možemo odrediti ako je maglina jonizaciono ograničena. Ovu prepostavku potvrđuje prisustvo linija OI ili SII, koje potiču sa ivice HII regiona (potencijal jonizacije kiseonika sličan je potencijalu jonizacije vodonika, pa je ivica zone OII približno ivica HII regiona, dok CII, MgII, SiII mogu postojati izvan njega). Pri tome se mogu koristiti rekombinacione linije.

Ukupan broj rekombinacija mora biti jednak ukupnom broju jonizujućih fotona. Deo  $f_\beta$  svih fotona Balmerove rekombinacije su  $H\beta$  fotoni (nalazi se iz Balmerovog dekrementa). Ako je zapremina gasa  $V$

$$\alpha_{rec} n_e n_{jon} V = \frac{\text{broj } H\beta \text{ fotona}}{f_\beta} = \text{broj jonizujućih fotona} \quad (5)$$

Pošto je gas uglavnom HII, imamo da je  $n_e \approx n_{ion}$ , pa je

$$V = \frac{\text{broj } H\beta \text{ fotona}}{\alpha'_{rec} f_\beta n_e^2} \quad (6)$$

Fluks  $H\beta$  fotona je  $F(H\beta) = L(H\beta)/4\pi d^2$ , gde je  $L(H\beta)$  - broj  $H\beta$  fotona proizveden u celom oblaku u jedinici vremena pomnožen sa  $h\nu(H\beta)$ , a  $d$  je rastojanje do oblaka. Broj  $H\beta$  fotona =  $L(H\beta)/h\nu(H\beta) = (F(H\beta)4\pi d^2)/(hc\lambda(H\beta))$ . Konačno imamo da je:

$$V = \frac{F(H\beta)4\pi d^2\lambda(H\beta)}{hc\alpha_{rec} f_\beta n_e^2}. \quad (7)$$

Elektronska koncentracija  $n_e$  se može odrediti iz odnosa intenziteta zabranjenih linija (videti 4.2).

#### 4.1.3. Odredjivanje zastupljenosti He u maglini

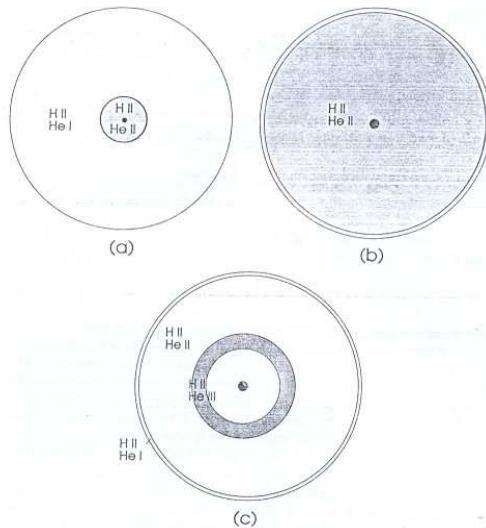
Rekombinacione linije se mogu koristiti i da se dobije odnos He/H u gasnoj maglini.

Prvo se može naći odnos HeII/HIII, korišćenjem  $f_\beta$  svih H rekombinacija u HIII regionu i slično izračunati deo  $f_{587.6}$  svih He rekombinacija u HeII regionu, koje prolaze kroz HeI liniju na 587.6nm:

$$\frac{\text{flux(HeI}587.6)}{\text{flux(HI}486.1)} = \frac{f_{587.6} h\nu_{587.6}}{f_{486.1} h\nu_{486.1}} \frac{\alpha_{rec}(He)}{\alpha_{rec}(H)} \frac{n(He)}{n(H)} \frac{V(\text{HeII})}{V(\text{HIII})}. \quad (8)$$

Za O zvezde, planetarne magline i AGN-ove, HIII i HeII zone imaju iste spoljne granice. Oko O zvezda ima vrlo malo HeIII, pa je  $V(\text{HeII})=V(\text{HIII})$ , dok je kod planetarnih maglina i AGN-ova zapremina HeIII znatna, pa je:  $V(\text{HeII})+V(\text{HeIII}) = V(\text{HIII})$ .

Kod B zvezda nema HeIII regiona, a HeII zona je znatno manja od HIII zone. OIII ima u HeII zoni, a OII u HIII+HeI zoni. Relativna jačina linija [OIII] i [OII] u spektru daje  $V(\text{OIII})/V(\text{OII})$ , odnosno  $V(\text{HeII})/V(\text{HeI})$ . Zamenom u  $V(\text{HIII}) = V(\text{HeI}) + V(\text{HeII}) = V(\text{HeII})[1 + V(\text{HeI})/V(\text{HeII})]$  i korišćenjem (8) konačno dobijamo  $n(He)/n(H)$ .



**Slika 4.** Maglina oko: (a) B zvezde ( $T=30000\text{K}$ ), (b) O zvezde ( $T=40000\text{K}$ ), (c) vrelog plavog patuljka u centru planetarne magline ( $T=100000\text{K}$ ).

## 4.2. Sudarno eksitovane linije

Intenzitet optički tanke linije koja nastaje prelazom sa gornjeg  $j$  na donji  $i$  nivo je:

$$I_\nu = \int j_\nu \rho dz = \int \frac{A_{ji}}{4\pi} n_j h\nu dz . \quad (9)$$

Ako pretpostavimo da se naseljavanje  $j$  nivoa rekombinacijama i radijativnim prelazima sa viših nivoa može zanemariti i ako zanemarimo radijativne prelaze sa osnovnog nivoa  $l$  na  $j$  (optički tanka linija), onda je gornji nivo naseljen samo sudarnom eksitacijom sa osnovnog stanja  $l$ , pa imamo:

$$n_j \Sigma_k A_{jk} + n_j \Sigma_k C_{jk} = n_l C_{lj} . \quad (10)$$

Onda iz (9) i (10) sledi:

$$I_\nu = \frac{h\nu}{4\pi} A_{ji} \int \sum_{k < j} \frac{n_l C_{lj}}{(A_{jk} + C_{jk})} dz . \quad (11)$$

Ako je gustina toliko niska da se sudarna deeksitacija može zanemariti u odnosu na radijativnu i ako je razmatrani prelaz glavni radijativni prelaz sa nivoa  $j$  (sto je slučaj ako je  $l$  osnovni nivo), (11) se svodi na

$$I_\nu = \frac{h\nu}{4\pi} \int n_l C_{lj} dz \quad (12)$$

$n_l$  je ukupna koncentracija jona jer su naseljenosti viših nivoa male.

Sudarna eksitacija za zabranjene linije (koje su uvek optički tanke) data je preko jačine sudara  $\Omega(l, j)$ :

$$C_{lj} = \frac{8.6 \cdot 10^{-12}}{\sqrt{T}} n_e \frac{\Omega(l, j)}{g_l} e^{-E_{lj}/kT} , \quad (13)$$

pa je

$$I_\nu = 6.8 \cdot 10^{-13} E_{lj} \frac{\Omega(l, j)}{g_l} \int \frac{n_l n_e}{\sqrt{T}} e^{-E_{lj}/kT} .$$

### 4.2.1. Odredjivanje fizičkih uslova u maglini iz emisionih linija

Odnos linija jednog jona može se koristiti za dijagnostikovanje uslova u maglini. Potražimo odnose linija koji su osetljivi samo na jedan parametar, na primer  $T$ . Iskoristimo činjenicu da odnos sudarnih eksitacija nivoa sa znatno različitim potencijalima eksitacije jako zavisi od  $T$ . Drugim rečima, potražimo odnos intenziteta linija jednog jona koje polaze sa različitih pobudjenih nivoa (čije naseljenosti zavise od  $T$  zbog različitih potencijala eksitacije).

Posmatrajmo konfiguraciju  $np^3$ , koja ima  ${}^3P$  kao osnovno stanje, term  ${}^1D$  kao prvo eksitovano i term  ${}^1S$  kao drugo eksitovano stanje (slika 9). Prelazi koji se posmatraju u spektru su:  ${}^1S_0 \rightarrow {}^1D_2$  (436.3nm) i dublet  ${}^1D_2 \rightarrow {}^3P_2$  i  ${}^1D_2 \rightarrow {}^3P_1$  (500.7 i 495.9nm).

Svi su zabranjeni jer nema promene konfiguracije, a prelaz iz singleta u dublet je dodatno zabranjen jer narušava pravilo  $\Delta S = 0$  ( ${}^1D_2 \rightarrow {}^3P_0$  je ekstra zabranjen jer  $\Delta J = 2$ ). Potražimo odnos intenziteta ovih linija, koristeći jednačinu (9):

$$\frac{I({}^1S \rightarrow {}^1D)}{I({}^1D \rightarrow {}^3P_2) + I({}^1D \rightarrow {}^3P_1)} = \frac{n({}^1S)}{n({}^1D)} \frac{A({}^1S \rightarrow {}^1D)h\nu({}^1S \rightarrow {}^1D)}{A({}^1D \rightarrow {}^3P)h\nu({}^1D \rightarrow {}^3P)} \quad (14)$$

Neka je elektronska koncentracija tako niska da se sudarna deekscitacija sa  ${}^1D$  i  ${}^1S$  može zanemariti, kao i sudarna ekscitacija sa  ${}^1D$  na  ${}^1S$ . Prepostavimo i da naseljavanje  ${}^1D$  radijativnim prelazom sa  ${}^1S$  takodje nije od značaja. Jednačine statističke ravnoteže onda daju:

$$\begin{aligned} n(D)A(D \rightarrow P) &= n(P)C(P \rightarrow D) \\ n(S)[A(S \rightarrow P) + A(S \rightarrow D)] &= n(P)C(P \rightarrow S) \end{aligned}$$

odnosno, odnos naseljenost nivoa  ${}^1S$  i  ${}^1D$ :

$$\frac{n(S)}{n(D)} = \frac{C(P \rightarrow S)}{C(P \rightarrow D)} \frac{A(D \rightarrow P)}{A(S \rightarrow P) + A(S \rightarrow D)}. \quad (15)$$

Zamenom (15) u (14) imamo:

$$\frac{I(S \rightarrow D)}{I(D \rightarrow P)} = \frac{C(P \rightarrow S)}{C(P \rightarrow D)} \frac{\nu(S \rightarrow D)}{\nu(D \rightarrow P)} \frac{A(S \rightarrow D)}{A(S \rightarrow P) + A(S \rightarrow D)} \quad (16)$$

Kako je

$$C \propto \frac{\Omega}{g} \frac{e^{-E/kT}}{\sqrt{T}}$$

konačno imamo da je:

$$\frac{I(S \rightarrow D)}{I(D \rightarrow P)} = \frac{\Omega(P \rightarrow S)}{\Omega(P \rightarrow D)} e^{-\Delta E/kT} \frac{\nu(S \rightarrow D)}{\nu(D \rightarrow P)} \frac{A(S \rightarrow D)}{A(S \rightarrow P) + A(S \rightarrow D)} \quad (17)$$

gde je  $\Delta E = E(S) - E(D)$ .

Merenjem odnosa intenziteta linija iz (17) dobijamo  $T$ .

Zamenom vrednosti jačina sudara i verovatnoća prelaza, za jon OIII se dobija:

$$\frac{I(495.9) + I(500.7)}{I(436.3)} = \frac{7.9e^{32960/T}}{1 + 4.5 \cdot 10^{-4}(n_e/\sqrt{T})}.$$

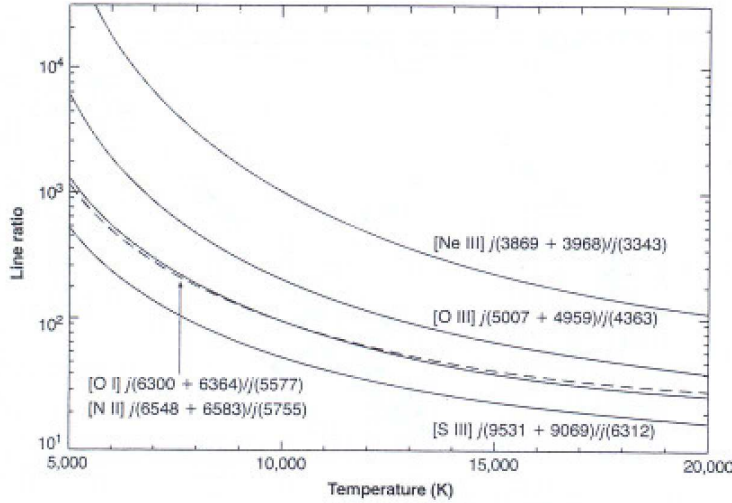
Na slici 5 prikazan je ovaj odnos intenziteta (pri koncentraciji od  $1\text{cm}^{-3}$ ) u funkciji temperature kao i odgovarajući odnosi zabranjenih linija drugih jona ([NII], [NeIII] i [SIII]).

Fina struktura nivoa  ${}^3P$  osnovnog stanja  $p^2$  konfiguracije dovodi do infracrvenih (IC) zabranjenih prelaza. Napr. OIII ima prelaz  ${}^3P_2 \rightarrow {}^3P_1$  na  $52\text{\AA}$  i prelaz  ${}^3P_1 \rightarrow {}^3P_0$  na  $88\text{\AA}$ , dok je prelaz  ${}^3P_2 \rightarrow {}^3P_0$  zabranjen ( $\Delta J = 2$ ).

Energije ekscitacije ovih nivoa su mnogo manje od  $kT$  pa sudarni procesi dominiraju. Dobija se da je odnos IC linija OIII dat sa:

$$\frac{I(52\mu\text{m})}{I(88\mu\text{m})} = 0.55e^{-278/T} \left(1 + 4.7 \cdot 10^{-7} \frac{n_e}{\sqrt{T}}\right),$$

tj. da jako zavisi od  $n_e$ , a vrlo slabo od  $T$ , pa služi za određivanje elektronske koncentracije.



**Slika 5.** Temperaturska osetljivost odnosa nekih zabranjenih prelaza.

Zabranjeni prelazi kod  $p^3$  konfiguracije ( ${}^2D \rightarrow {}^4S$  dublet) mogu se koristiti da se odredi elektronska koncentracija  $n_e$ . Traži se odnos linija koje polaze sa istog nivoa:

$$\frac{I({}^2D_{5/2} \rightarrow {}^4S)}{I({}^2D_{3/2} \rightarrow {}^4S)} = \frac{j({}^2D_{5/2} \rightarrow {}^4S)}{j({}^2D_{3/2} \rightarrow {}^4S)} = \frac{n({}^2D_{5/2}) A({}^2D_{5/2} \rightarrow {}^4S) h\nu({}^2D_{5/2} \rightarrow {}^4S)}{n({}^2D_{3/2}) A({}^2D_{3/2} \rightarrow {}^4S) h\nu({}^2D_{3/2} \rightarrow {}^4S)} .$$

U slučaju OII to je odnos  $I(372.9)/I(372.6)$ , a kod SII to je  $I(671.6)/I(673.1)$ . Radijativna ekscitacija  ${}^2D$  nivoa je neznatna, a naseljavanje tih nivoa radijativnim prelazom sa viših  ${}^2P$  nivoa je zanemarljivo jer je naseljenost, generalno, svih ekscitovanih nivoa mala.  ${}^2D$  nivoi su uglavnom naseljeni sudarnom ekscitacijom sa osnovnog stanja i raseljeni radijativnom + sudarnom deeksitacijom. Odnos poslednja dva procesa dovodi do zavisnosti od gustine.

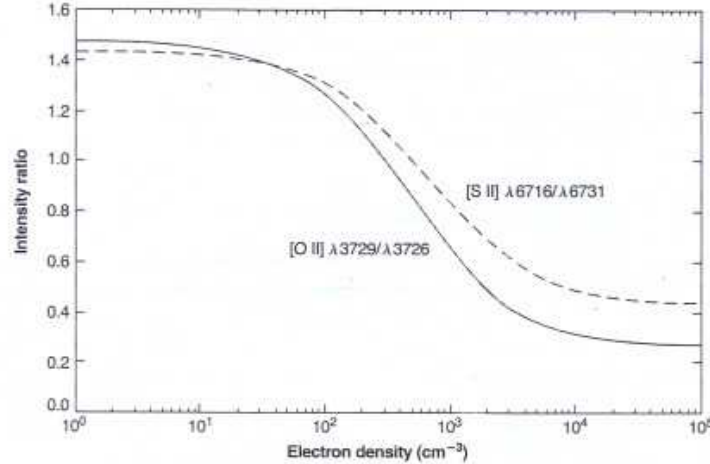
Tako, pri velikim gulinama ( $C_{ji} \gg A_{ji}$ ),  $n(D_{5/2})/n(D_{3/2}) = 1.5$ , pa je

$$\frac{I(D_{5/2} \rightarrow S)}{I(D_{3/2} \rightarrow S)} = 1.5 \frac{A(D_{5/2} \rightarrow S)}{A(D_{3/2} \rightarrow S)}$$

a ako je mala ( $A_{ji} \gg C_{ji}$ ):

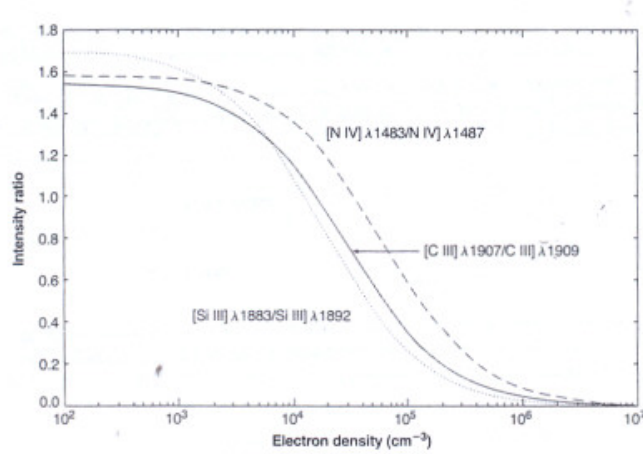
$$\frac{I(D_{5/2} \rightarrow S)}{I(D_{3/2} \rightarrow S)} = 1.5 .$$

Prelaz iz jedne formule na drugu dešava se na tzv. kritičnoj elektronskoj koncentraciji za koju je  $C_{ji} = A_{ji}$ , a koja je reda  $n_e \approx 3 \cdot 10^3 \text{ cm}^{-3}$ .



**Slika 6.** Zavisnost od elektronske koncentracije odnosa zabranjenih linija OII i SII.

Na većim gustinama mogu se koristiti odnosi linija drugih konfiguracija. Tako se, napr. odnos intenziteta  $I(190.7)/I(190.0)$  linija CIII, koji se slično računa kao za linije OII i SII, može koristiti za određivanje  $n_e$ . Ovi prelazi su polu-zabranjeni jer dolazi do promene konfiguracije, ali je  $\Delta S \neq 0$ . Prelaz na 190.7nm je 'jako' zabranjen ( $A_{ji} = 5 \cdot 10^{-3} \text{s}^{-1}$ ) jer je  $\Delta J = 2$ , dok je prelaz na 190.0nm zabranjen samo pravilom za  $S$  i ima tipičnu polu-zabranjenu vrednost  $A_{ji} = 96 \text{s}^{-1}$ . Na velikim gustinama ovaj odnos je  $5/3$ , a pri niskim 0.9. Odnos intenziteta dostiže polovinu maksimalne vrednosti na  $n_e = 4 \cdot 10^{10} \text{m}^{-3}$ .



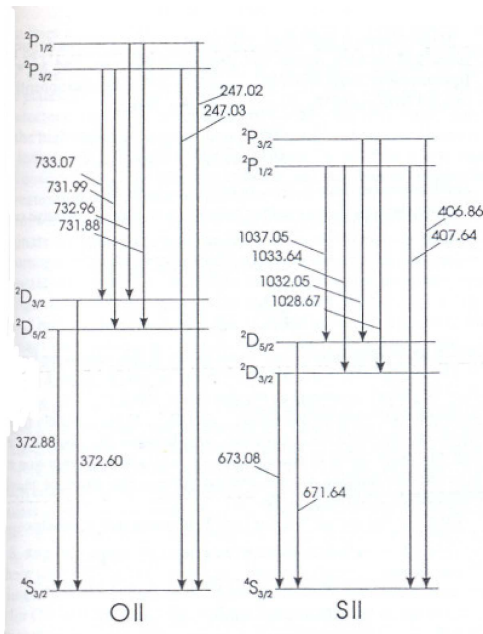
**Slika 7.** Odnos zabranjenih i polu-zabranjenih linija CIII, NIV i SiIII u funkciji  $n_e$  (na  $T = 10^4 \text{K}$ ).

Pošto su u opštem slučaju odnosi linija funkcije i  $T$  i  $n_e$ , posmatrane vrednosti svakog takvog odnosa daju jednu krivu na  $T$  vs.  $n_e$  dijagramu (napr. odnos OII i SII). Drugi posmatrani odnos linija daje drugu krivu (napr. OIII i NII), a presek te dve krive daje traženo  $T$  i  $n_e$ .

## Dodatak: Kratak podsetnik iz atomske fizike

**Konfiguracija elektrona u atomu** je skup kvantnih brojeva pojedinačnih elektrona, tako da se napr. osnovno stanje OII jona koji ima spoljašnju nepotpunjenu ljusku sa tri 2p elektrona može opisati kao konfiguracija  $1s^2 2s^2 2p^3$ , gde gornji index označava broj elektrona. Samo spoljni elektroni učestvuju u formiranju spektra.

**Kod dozvoljenih radijativnih prelaza dolazi do promene konfiguracije.** Emittovani foton odnosi ugaoni momenat, što zahteva da bar jedan elektron promeni svoj ugaoni momenat, što dovodi do selekcionog pravila  $\Delta l = \pm 1$ . Elektroni u spoljnoj ljusci interaguju i daju ukupni orbitalni ugaoni moment sa kvantnim brojem  $L$ , ukupan spinski ugaoni moment sa kvantnim brojem  $S$  i ukupni ugaoni moment sa kvantnim brojem  $J$ . Data konfiguracija može rasporediti svoje ugaone momente tako da se dobije više od jedne vrednosti za  $L$ ,  $S$  i  $J$ . Svaki set vrednosti se zove *term* i piše se  $^{2S+1}L$ . Na primer, osnovna konfiguracija OII dovodi do termova  $^4S$  i  $^2D$ , od kojih drugi ima veću energiju. Konačno, spin-orbit interakcija cepta termove u nivoe fine strukture sa različitim vrednostima  $J$ , nivo se tada zapisuje  $^{2S+1}L_J$ . Term  $^2D$  OII cepta se u nivoe  $^2D_{5/2}$  i  $^2D_{3/2}$  sa malo različitim energijama, dok je term  $^4S$  singletan jer  $L = 0$  i  $S = 3/2$  mogu dati samo  $J = 3/2$ . Selepciona pravila su  $\Delta L = 0, \pm 1$ ,  $\Delta J = 0, \pm 1$  (sa zabranjenim prelazom  $J = 0$  na  $J = 0$ ) i  $\Delta S = 0$ .

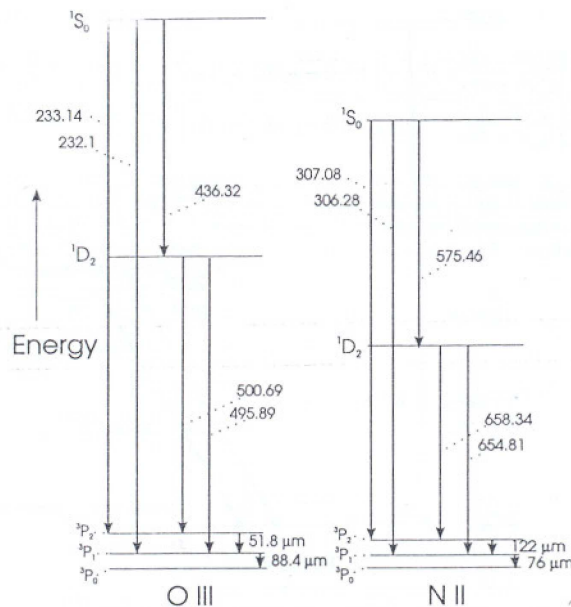


**Slika 8.** Energetski nivoi jona OII i SII i zabranjeni prelazi.

Konfiguracija osnovnog stanja može dovesti do više od jednog terma (slika 8). Ako je jedan od viših termova ekscitovan, može doći do radijativnog prelaza na osnovni term, ali to će biti zabranjeni prelaz sa verovatnoćom prelaza tipično reda  $0.02\text{s}^{-1}$ , u poređenju sa tipičnom verovatnoćom od  $10^9\text{s}^{-1}$  za dozvoljene prelaze. U laboratoriji takav jedan eksitovan term biće sudarno deeksitovan mnogo pre nego što dodje vreme za radijativni

zabranjeni prelaz, ali u uslovima niske gustine u maglini gde su sudsarne deekscitacije retke, zabranjene linije se mogu videti. Kako termovi osnovnog stanja nisu po energiji mnogo udaljeni, gornji term osnovnog stanja se relativno lako sudsarno ekscituje i naknadni zabranjeni prelaz naniže često leži u vidljivom. Primer je prelaz  $^2D \rightarrow ^4S$  u OII koji proizvodi dublet [OII] 372.6nm i 372.9nm (slika 8). Uglaste zagrade označavaju zabranjeni prelazi.

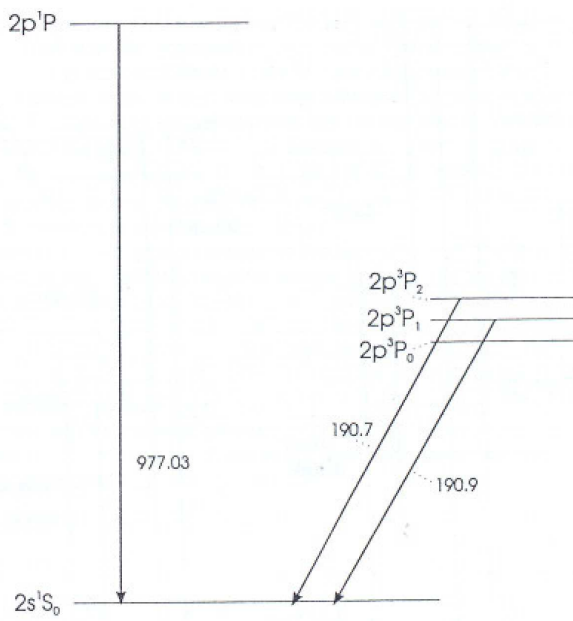
Slično, OIII ima konfiguraciju osnovnog stanja  $1s^2 2s^2 2p^2$  i dva spoljna  $p$  elektrona dovode do termova  $^1S$ ,  $^1D$  i  $^3P$ , po redosledu smanjenja ekscitacione energije. Fino cepanje deli najniži term u nivoi  $^3P_2$ ,  $^3P_1$  i  $^3P_0$ , opet po opadajućoj energiji ekscitacije. Prelazi  $^1D_2 \rightarrow ^3P_2$  i  $^3D_2 \rightarrow ^3P_1$  proizvode dublet [OIII] 500.7nm i 495.9nm. Prelaz  $J=2 \rightarrow J=0$  je extra zabranjen selepcionim pravilom  $\Delta J = 0, \pm 1$  (slika 9).



**Slika 9.** Energetski nivoi jona OIII i NII i zabranjeni prelazi.

Prelazi izmedju nivoa fine strukture, tj. prelazi izmedju nivoa sa istom konfiguracijom i istim kvantnim brojevima  $L$  i  $S$ , a različitim  $J$  takođe su zabranjeni sa još manjom verovatnoćom prelaza, reda  $10^{-4}s^{-1}$ . Takvi prelazi su vrlo lako ekscitovani, jer su energije ekscitacije male. Promena u energiji je takođe mala, pa talasne dužine leže u IC ili dalekoj IC oblasti. Primer su [OIII] linije:  $^3P_2 \rightarrow ^3P_1$  na  $52 \mu\text{m}$  i  $^3P_1 \rightarrow ^3P_0$  na  $88 \mu\text{m}$ .

Najzad, postoje prelazi izmedju termova koji pripadaju različitim konfiguracijama, ali imaju razlike vrednosti  $S$ , tako da narušavaju selepciono pravilo  $\Delta S = 0$ . Ovo pravilo je vrlo slabo i verovatnoće prelaza su reda  $100 s^{-1}$ . Takvi interkombinacioni prelazi se zovu semi-zabranjeni. Primer je prelaz dvaput jonizovanog ugljenika:  $1s^2 2s^2 1S \rightarrow 1s^2 2s 2p 3P$ , koji daje liniju CIII] 190.0nm, gde se pola zagrade koristi da označi polu-zabranjenu liniju (slika 10).



**Slika 10.** Energetski nivoi jona CIII i polu-zabranjeni prelazi.

#### Literatura:

1. Emerson, D.: 1996, *Interpreting Astronomical Spectra*, John Wiley & Sons.
2. Osterbrock, D.E., Ferland, G.J.: 2006, *Astrophysics of Gaseous Nebulae and Active Galactic Nuclei*, 2nd edition, University Science Books, Sausalito, California.

Sve slike su preuzete iz gore navedene literaturе.

Olga Atanacković